

# TECHNIKA CIEPLNA

CZASOPISMO STOWARZYSZENIA DOZORU KOTŁÓW W WARSZAWIE

OFICJALNY ORGAN POLSKIEGO KOMITETU NORMALIZACYJNEGO DLA SPRAW KOTŁOWYCH

REDAKTOR: Inż. mech. ANTONI WITOLD WICIEJEWSKI.

Wydawca: Stowarzyszenie Dozoru Kotłów w Warszawie.

REDAKCJA I ADMINISTRACJA: WARSZAWA, PIĘKNA 32, m. 12. TEL. 8-81-47.

GODZINY BIUROWE: REDAKCJI—PIĄTKI, OD 18 DO 20, ADMINISTRACJI—CODZIENNE, OD 10 DO 15.

Inż. K. GIERTLER.

## OBLICZENIE CEN PARY I MOCY PRZY SPRĘŻONEJ GOSPODARCE CIEPLNO-ELEKTRYCZNEJ.

Coraz częściej stosuje się w fabrykach papieru, celulozy, sukna i cukrowniach do celów ogrzewania, suszenia i gotowania parę którą użyto poprzednio do wytwarzania energii elektrycznej wzgl. mechanicznej. Dokonano w ten sposób bezpośrednio sprzężenia gospodarki cieplnej z wytwarzaniem energii elektrycznej, wzgl. mechanicznej. Zasadniczy schemat tego rodzaju siłowni przedstawia rysunek I.

Co do obliczenia cen pary i siły w tym wypadku, panuje jeszcze niepewność. Przecież jest dziś przy ogólnie wytężonej pracy nad dokładnym uchwyceniem kosztów własnych, dla całej fabryki wzgl. przedsiębiorstwa jak i dla poszczególnych działów fabrykacji, dokładna znajomość cen pary i mocy, jakoteż ich względna zależność, czynnikiem bardzo ważnym. Liczbami temi posługujemy się przy kalkulacji cen fabrykatów, przy obliczeniach dokonanych oszczędności lub wprowadzaniu tychże, przez zastosowanie nowych maszyn lub aparatów, wreszcie przy projektowaniu przebudowy siłowni i przejścia do wyższego ciśnienia kotłowego.

Niżej podany sposób liczenia zapewnia przy konsekwentnem przeprowadzaniu pewne wartości które zależą głównie od ceny ( $Wzł/t$ ) i wartości kalorycznej węgla ( $K_d$ ). Udział kapitału zostaje pominiętym.

Myślą zasadniczą w niniejszem obliczeniu, jest celowe i sprawiedliwe rozliczenie kosztów spalonego węgla, na parę pobieraną, przeciwciśnieniową lub redukowaną z jednej strony a na wytworzoną moc z drugiej strony. Cena jednej tony pary dolotowej ( $B zł/t$ ), zależy więc: od wartości kalorycznej węgla ( $K_d$ ), sprawności kotłowni ( $\eta_k$ ) i ilości ciepłika w 1 kg pary. Jeżeli ( $t$ ) jest średnią temperaturą kondensatu i wody dodawanej (woda za-

silająca kotły),  $i_1$  ciepłikiem pary dolotowej w  $kal/kg$ , to cena 1 tony pary dolotowej wynosi:

$$\frac{i_1 - t}{K_d \cdot \eta_k} \cdot W = B \text{ zł/t}$$

Para pobierana lub przeciwciśnieniowa którą użyto do ogrzewania, suszenia, lub gotowania, oddała jednak część swojej energii cieplnej poprzednio w turbinie lub maszynie parowej, na wytwarzanie mocy. Ciepłik tej pary  $i'$ , można łatwo z wykresu  $I S$  wyznaczyć i tem samem wiemy ile kaloryj na wytwarzanie mocy wykorzystano. Ciepłik kondensatu pary pobieranej który otrzymujemy z fabryki, wynosi  $q'_k$  kaloryj. Całkowity, użyteczny ciepłik pary pobieranej, wynosi więc:

$$i' - q'_k = e \text{ kal/kg}$$

Cenę tej pary obliczamy przez porównanie z parą dolotową:

$$B \cdot \frac{i' - q'_k}{i_1 - t} = B_p \text{ zł/t}$$

Dotychczas nieuwzględniono jeszcze, że otrzymujemy nie całą ilość kondensatu tej pary i różnicę musimy stale uzupełniać wodą świeżą o temperaturze  $t_0$  °C. Chcąc całkiem dokładnie liczyć, musimy  $q'_k$  obliczyć w następujący sposób:

$$q''_k = q'_k - (q'_k - t_0) \frac{S^0/0}{100};$$

$q'_k$ .. rzeczywista temperatura kondensatu fabrycznego.

$S\%$ ... procentowa ilość wody dod. odniesiona do kondensatu całej ilości pary pobieranej.

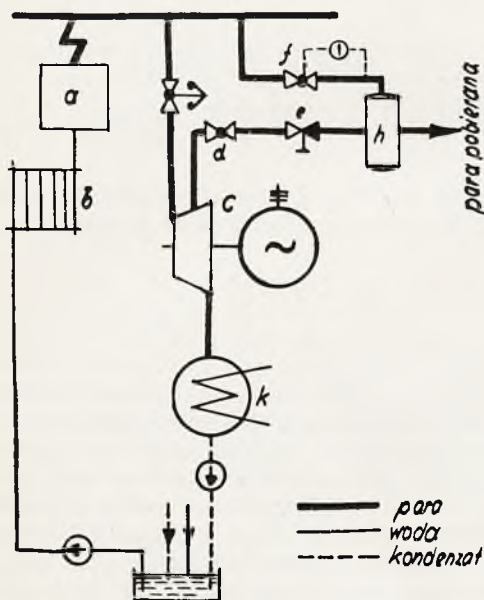
Jeżeli turbina jest na dwukrotne pobieranie pary, to dla każdej z nich otrzymamy inną cenę.

Cena siły zależy także od ceny i wartości opałowej ( $K_d$ ) węgla, sprawności kotłowni ( $\eta_k$ ) i silnika cieplikowego wraz z generatorem, wreszcie stopnia przegrzania pary, ciśnienia początkowego i końcowego ekspansji. Bardzo ważnym czynnikiem który wpływa w znacznej mierze na cenę  $1 kWh$ , jest to czy ciepło zawarte w parze odlotowej, zostaje dla celów praktycznych wykorzystane, lub czy zostaje

Przy dwukrotnym pobieraniu pary wzór przyjmuje nast. postać:

$$\frac{F_1 \cdot i_1 - E' \cdot i' - E'' \cdot i'' - (F_1 - E' - E'') \cdot q'''_k}{1000 \cdot K_d \cdot n_k} \cdot W = C_2 \text{ zł/godz.}$$

Obliczenie cen pary i siły przy sprzężonej gospodarce ciepło-elektrycznej.



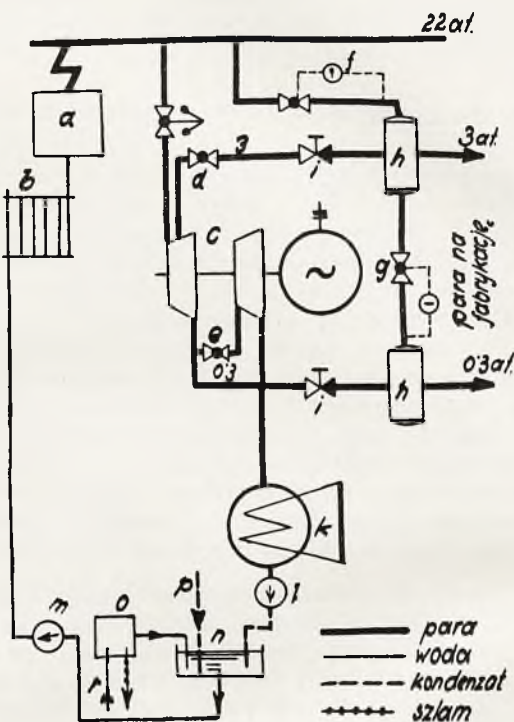
- a, b. Kociołownia, ekonomizery.
- c. Turbogregat.
- d. Regulator pary pobieranej.
- f. Wentyl redukcyjny.
- h. Zbiornik pary pob.
- k. Kondensator

Rys. 1

tylko odprowadzone bez korzyści z wodą chłodzącą kondensator. Przy pewnym stałym obciążeniu  $P kW$ , maszyna połyka  $F_1 kg$  pary na godzinę o ciepłiku  $i_1 kal/kg$ . Ilość pary pobieranej na fabrykę wynosi  $E' kg/godz$  o  $i' kal/kg$ . Ciepłik kondensatu turbinowego wynosi  $q'''_k kal/kg$ .

Godzinny ruch kosztuje więc;

$$\frac{F_1 \cdot i_1 - E' \cdot i' - (F_1 - E') \cdot q'''_k}{1000 \cdot K_d \cdot \eta_k} \cdot W = C_1 \text{ zł/godz.}$$



- a, b. Kociołownia, ekonomizery.
- c. Turbina
- d, e. Regulatory pobierania pary.
- f. Wentyl redukcyjny 22/3 atm.
- g. " " 3/0,3 atm.
- h, h'. Zbiorniki pary
- i, i'. Klapy zwrotne
- k. Kondensator
- z. Pompa kondensacyjna
- m. " kotłowa
- n. Zbiornik kondensatu
- o. Oczyszczalnia wody
- p. Kondensat z fabryki
- r. Woda dodawana

Rys. 2

Średnia cena  $1 kWh$  kosztuje więc:

$$\frac{C \cdot 100}{P} = g/gr/kWh$$



Przy pracy z czystym przeciwcisnieniem, koszt opału na wytworzoną moc są od ciśnienia wlotowego i przeciwcisnienia jakoteż od termodynamicznej sprawności maszyny niezależne, gdyż cała na wytwarzanie mocy niewykorzystana ilość ciepła, przypada na ogrzewanie, gotowanie, lub suszenie. Decydującą rolę odgrywają powyższe czynniki przy pracy z pobieraniem pary i kondensacją, wpływają bowiem na ilość wytworzonej siły przeciwcisnieniowej i tem samym na średnią cenę I kWh. Wpływ strat, przez promieniowanie, tarcie, strat w żelazie i miedzi, jest na cenę I kWh prawie zawsze równy.

W średnich warunkach, siła przeciwcisnieniowa kosztuje od 0,5 do 0,8 gr za I kWh, przy pracy z czystą kondensacją od 1,6 do 2,6 gr za I kWh. Przy pracy z pobieraniem i kondensacją, leżą ceny za moc między temi granicami, zależnie od ilości pary pobieranej i pary kondensatorowej.

Niżej podany przykład rachunkowy powyższe rozważania jeszcze lepiej uwydatni. Odnośny schemat przedstawia rys. 2.

Rodzaj maszyny: dwukadłubowa turbina kondensacyjna, z dwukrotnym pobieraniem pary, ciśnienie dolotowe 22 atn, przegrzanie pary 353°C (pow. być 400 lecz kotły niedotrzymały gwarancji). Ilość ciepłika 751 kal/kg obciążenie na zaciskach generatora 1530 kW, sprawność kotłowni  $\eta_k = 77\%$ , wartość kaloryczna węgla  $K_d$  wynosi 5650 kal/kg którego spalono 2310 kg/godz., cena węgla 18 zł/t.

Turbina zużywa na godzinę 13840 kg pary, na fabrykację pobieramy w sumie 7500 kg pary, z tego 4100 kg na 3 atn i 3400 kg na 0,3 atn. Temperatury otrzymywanego kondensatu wynoszą:

kondensat turbinowy . . . . . 24°C  
 „ fabryczny . . . . . 70°C

temp. wody dodawanej w ilości 81,5%  
 (6150 kg) . . . . . 15°C

Średnią temperaturę wody zasilającej kotły, można łatwo wyliczyć, wynosi 24,6°C.

Cena pary dolotowej wynosi:

$$B = \frac{751 - 24 \cdot 6}{5650 \cdot 0 \cdot 77} \cdot 18 = 3 \cdot 005 \text{ zł/t}$$

Z uwzględnieniem wody dodawanej, temperatura kondensatu fabrycznego wynosi:

$$q''_k = 70 - (70 - 15) \frac{81 \cdot 5}{100} = 25 \cdot 2^\circ \text{C}$$

#### Oznaczenia:

$W$  . . . cena 1 tony węgla loco kotłownia (Zł/t)  
 $K_d$  . . . wartość opałowa węgla (kal/kg)  
 $B$  . . . cena 1 t. pary wyprodukowanej w kotle (Zł/t)  
 $\eta_k$  . . . Sprawność kotła.  
 $i_1$  . . . Ciepłik pary wypr. w kotle (kal/kg)  
 $t$  . . . Temperatura wody zasilającej kocioł (°C)  
 $i', i''$  . . . ciepłiki par pobieranych na fabrykę (kal/kg)  
 $q'_k$  . . . Ciepłik kondensatu pary pobieranej (kal/kg)  
 $B_p$  . . . Cena 1 tony pary pobieranej na fabrykę (Zł/t)

Ceny pary pobieranej wynoszą:

(odnośne ciepłiki wynoszą: 3 atn 714 kal/kg  
 (z wykresu JS)  
 0,3 „ 658 kal/kg)

$$B_{p_3} = 3 \cdot 005 \frac{714 - 25 \cdot 2}{751 - 24 \cdot 6} = 2 \cdot 85 \text{ zł/t}$$

$$B_{p_{0.3}} = 3 \cdot 005 \cdot \frac{658 - 25 \cdot 2}{751 - 24 \cdot 6} = 2 \cdot 62 \text{ zł/t}$$

Wytworzenie 1530 kWh kosztuje:

$$C = \frac{(13840 \cdot 751 - 4100 \cdot 714 - 3400 \cdot 658)}{1000 \cdot 5650 \cdot 0 \cdot 77} - \frac{13840 - 4100 - 3400}{1000 \cdot 5650 \cdot 0 \cdot 77} \cdot 24 \cdot 18 = 21 \cdot 00 \text{ zł/godz.}$$

Średnia cena I kWh na zaciskach generatora, wynosi:

$$g = \frac{21 \cdot 00 \cdot 100}{1530} = 1,373 \text{ gr/kWh}$$

Koszta ruchu godzinnego wynoszą (celem kontroli liczymy dwoma sposobami)

I-szy sposób:

Koszta spalonego węgla =  
 $= 18 \times 2310 = \dots \dots \dots 41 \cdot 60 \text{ zł}$

II-gi sposób:

3400 kg pary 0,3 atn	po 2,620 zł/t	8,90 „
4100 „ „ 3,0 „	„ 2,850 zł/t	11,70 „
1530 kWh	po 1,373 gr/kWh	21,00 „
		41,60 zł/godz

Wyniki obu działań zgadzają się, jesteśmy więc przekonani co do dokładności obliczenia.

Siłownia której schemat podaje rys. 2 posiada jak wszystkie tego rodzaju urządzenia, automatyczny wentyl redukcijny (23/3 atn), który jest połączony z głównym systemem regulującym pobieranie pary, tak że w razie potrzeby pokrywa szczyty obciążeń, lub uzupełnia zapotrzebowanie w razie małego obciążenia turbiny. Obliczenie ceny tej pary jest analogiczne z obliczeniem cen pary pobieranej.

Otrzymane ceny zostały obliczone, jak już wyżej wspomniano, z czystych kosztów opału. Chcąc otrzymać wartości zupełne, stanowiące kosztą własną, musimy uwzględnić udział kosztów obsługi i materiałów pomocniczych, a głównie udział kapitału.

Udział kapitału jest prawie zawsze równy i podwyższa powyższe ceny zależnie od stanu i wykorzystania siłowni, do 100%.

$t_0$  . . . Temperatura wody, uzupełniająca stratę kondensatu pary pobieranej (°C)  
 $S$  . . . Ilość wody uzupełniająca stratę kondensatu pary pobieranej (°C) wyrażona w procentach całkowitej ilości pary pobieranej.  
 $q_k''$  . . . Temperatura mieszaniny otrzymanego kondensatu  
 $P$  . . . Obciążenie turbiny (kW)  
 $F_1$  . . . Ilości kg pary wchodzącej do turbiny (kg/h)  
 $E', E''$  . . . Ilości par pobieranych na fabrykę (kg/h)  
 $q_k$  . . . Ciepłik kondensatu z turbiny (kal/kg)  
 $C_1, C_2$  . . . koszt godzinnego ruchu (Zł/h)  
 $g$  . . . Cena 1 kWh (gr).

Inż. T. WRÓBLEWSKI.

## USZKODZENIA SIODEŁ BABCOCK'A.

W pewnej elektrowni, po dorocznym czyszczeniu kotła systemu Babcocka o dwóch walczakach podłużnych, zbudowanego w Anglii w 1921 r. na ciśnienie robocze 14 atn, dokonywano próby wodnej, przyczem zważono na tylnym siodle jednego z walczaków, z boku u góry, przeciekanie. Miejsce

ani na pozostałych—najmniejszych śladów uszkodzeń nie stwierdzono.

Wprawdzie na tylnym siodle drugiego walczaka, mniej więcej w analogicznym miejscu, były ślady jakgdyby rdzewienia kształtu nakłucia szpilki, lecz to nie mogło wskazywać na istnienie uszkodzenia.

Mimo to inżynier zażądał odsłonięcia siodła z zewnątrz; po usunięciu muru na blasze, wyżej siodła i częściowo na siodle, stwierdzono zaciek znacznej powierzchni i grubości około 1 cm.

Pomimo pozornie małego uszkodzenia pierwszego walczaka (siedem nadpęknięć), walczak odcięto od rurek, dźwignięto z obmurza, obrócono siodłami do góry i tylne siodło odnitowano. Okazało się, że 32% otworów nitowych łączących siodło z walczakiem było pękniętych, kawałki siodła z obu stron były odpęknięte.

Na tymże walczaku odnitowano również siodło przednie, jednak okazało się, że zarówno siodło jak i blacha są nieuszkodzone.

Po podniesieniu drugiego walczaka i odnitowaniu tylnego siodła okazało się, że blacha walczaka pod siodłem była jeszcze w gorszym stanie niż blacha walczaka pierwszego.

Załączone fotografie odnoszą się do omawianego uszkodzenia.

Przyczyn uszkodzenia należy dopatrywać się w trudnym dopasowaniu, jakie następuje konstrukcja siodeł, mimo przetaczania ich; wymaga ono nagrzewania i pasowania na gorąco, co z pewnością było przeprowadzone niedbale; złom wskazuje na materiał przemęczony. Drugą przyczyną uszkodzenia był brak kontroli wytwórni nad wykonaniem i niedbalstwo widoczne ze szczegółów wykonania a mianowicie:

- a) siodła — mają wypukliny,
- b) pasowanie—blacha koło otworów nitowych ma małe wypukliny do zewnątrz dzwona a więc nie przylegała,
- c) doszczelnienie — do wyoblenia siodła a nie do części płaskiej,
- d) nitowanie — otwory niewypełnione, główki poderwane, „broczki“ — świadoma fuszerka.

Konstrukcji tej, ze względu na trudności wykonania, obecnie się już nie stosuje. Kon-



Rys. 1. Podaje wygląd siodła po obcięciu główek nitowych; otwory źle wypełnione; na siodle wypuklina, wskazująca na niedbałe wykonanie

to odsłonięto i, stwierdziwszy, że część obrzeża siodła jest odpęknięta, zawiadomiono Dozór Kotłowy o uszkodzeniu. Dozór dokonał oględzin, stwierdził, że linia pęknięcia przechodzi poziomo przez dwa najwyżej położone otwory nitowe, polecił blachę kotła od wewnątrz lepiej doczyścić oraz wyjąć parę nitów. Przy ponownych oględzinach stwierdzono siedem włoskowatych rys na blasze dzwona i w otworach nitowych w pobliżu



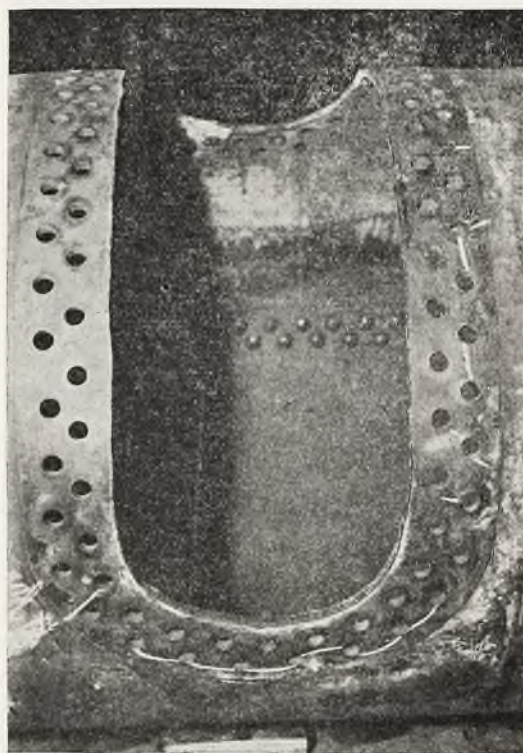
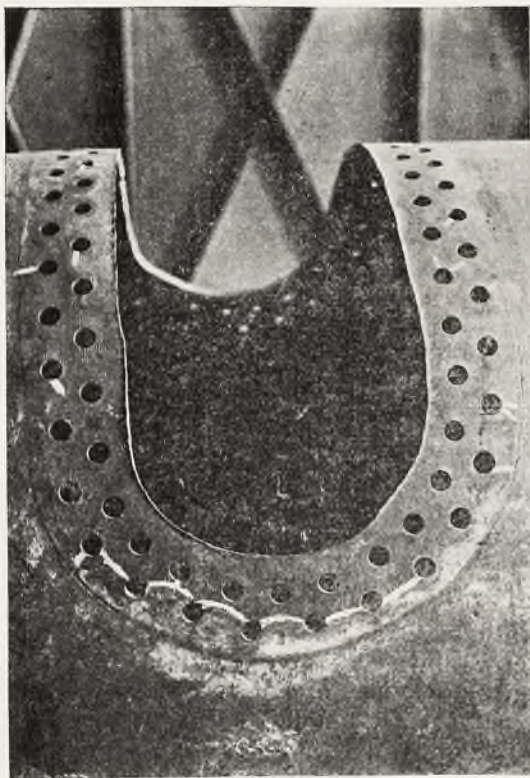
Rys. 2. Uszkodzone siodło

uszkodzonego miejsca. Pomimo skrupulatnych poszukiwań przy pomocy lupy i mikroskopu ( $\times 60$ ), oraz wyjęcia paru nitów w analogicznych miejscach na każdym siodle (4 siodła), ani na blasze siodła uszkodzonego

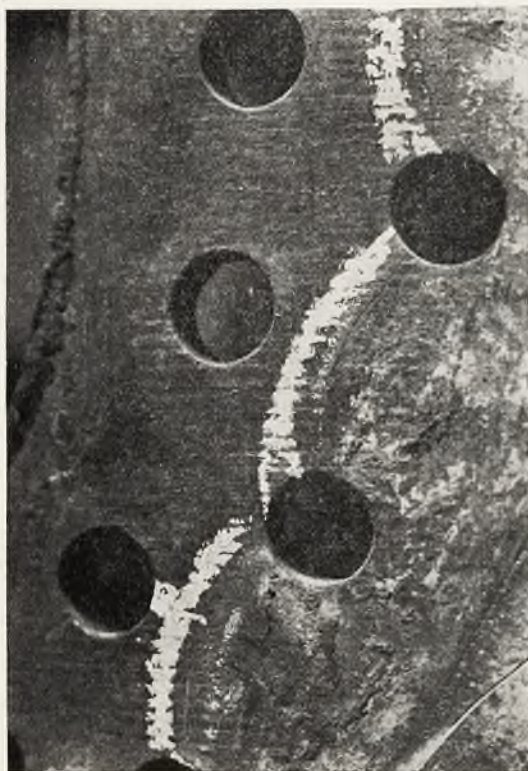


struktura ta, poza trudnością wykonania, nastrocza kłopoty przy wyszukiwaniu uszkodzeń, gdyż są one b. trudne i prawie niemoż-

liwe do ujawnienia w stanie znitowanym; odnitowanie zaś siodeł dla rewizji napotka zawsze na mocny sprzeciw ze strony posia-

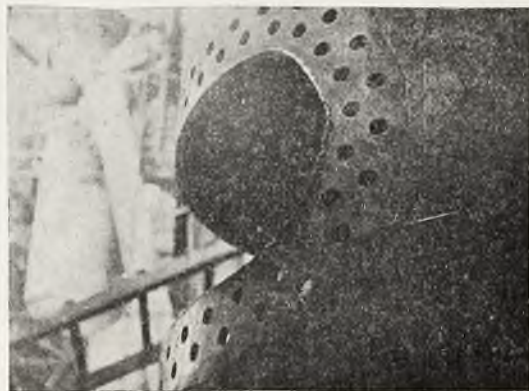


Rys. 3, 4. Uszkodzone dzwona



Rys. 5. Widok pęknięcia

daczy kotłów tej konstrukcji, o ile oczywiście nie natrafi się na kierownictwo posiadają-



Rys. 6. Widok wadliwego doszczelniania blachy do siodeł, od środka kotła, (oprócz doszczelnienia od zewnątrz); doszczelniano tę krawędź do wyoblenia siodeł a nie do części płaskiej

jące zrozumienie ew. skutków, jak to miało miejsce w omawianym wypadku, gdzie zarząd elektrowni nie tylko przystąpił do gruntownego remontu, lecz, nadto drugi kocioł bliźniak wyłączył z ruchu, traktując go jako rezerwo-





Rys. 7. Odpeknięte główki, bolce nitowe, kawałek siódła i „broczek” wyjęty z otworu nitowego.

Inż. W. R.

## WODA W KOTŁACH 100 atn.

(Doświadczenia z elektrowni w Mannheimie).

Dyrektor elektrowni w Mannheimie dr. Marguerre opisuje w artykule, ogłoszonym w „Zeitschrift des Bayerischen Revisions — Vereins“, rok 1931 str. 97 i nast., pod tytułem: „Erfahrungen mit Höchstdruckanlagen“, przebieg pojawienia się uszkodzeń w kotłach 100 atn, ustawionych w wymienionej elektrowni, oraz wysiłków przedsięwziętych, celem opamiętania trudności.

wały bardzo często, tak że czas stójek niemi spowodowanych wynosił w sumie mniej więcej tyle co czas ruchu.

Dr. Marguerre opisuje szegółowo historię objawów, obserwowanych na pierwszym uruchomionym kotle<sup>1)</sup>.

Po około 1000 godzinach pracy kotła pękła jedna opłomka stropowa, a dwie sąsiednie zostały wybrzuszone. Ponieważ miejsca uszkodzone leżały blisko siebie, przypuszczano początkowo, że przyczyną było miejscowe spiętrzenie temperatury, jednak nie znaleziono innych śladów przegrzania.

Wydęcia wypełniał całkowicie osad składający się głównie z tlenków żelaza i soli glauberskiej (siarczan sodowy). Pozatem rury były pokryte od strony paleniska warstwą kamienia o grubości 0,3 mm, zawierającego ponad 30% krzemianów, około 20%  $Fe_2O_3$  i około 20%  $Fe_3O_4$ . Kocioł był zasilany głównie kondensatem, lecz jeden ze skraplaczy był nieszczelny. Skład chemiczny wody w kotle utrzymywano w granicach ustalonych przez Stowarzyszenie właścicieli wielkich kotłów (V. G. B.) z tą różnicą, że dodawano jeszcze siarczan sodowy.

Po naprawie kocioł oczyszczono i uruchomiono. Dla zabezpieczenia się przed wydzielaniem kamienia zaczęto dodawać fosforan sodu oraz utrzymywać t. zw. liczbę sodową<sup>2)</sup> wody kotłowej równą 200.

<sup>1)</sup> Technika Ciepła 1931 r. str. 135 rys. 15.

<sup>2)</sup> Liczba sodowa =  $\frac{mg Na_2CO_3}{4.5} + mg NaOH$  litr



Rys. 1.

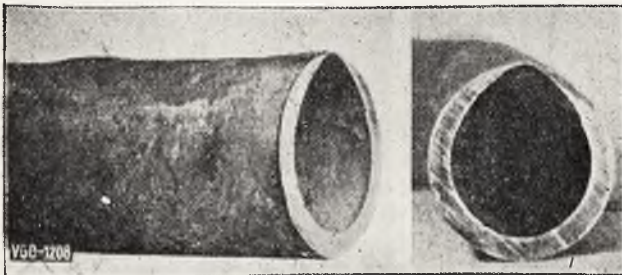
Stuatmosferowe urządzenia elektrowni Mannheimskiej omówił inż. Władysław Pac w artykule: „Nowoczesne instalacje wysokoprężne“ (Technika Ciepła 1931 str. 134). W tym artykule znajduje się niezbyt ściśle wzmianka o kłopotach, związanych z zachowaniem się wody w kotłach. To też w dalszym ciągu podajemy za dr. Marguerre obszerniejsze i dokładniejsze sprawozdanie z występowania tych trudności, — ze względu na ważność zagadnienia dla nowoczesnych instalacji kotłowych.

W ciągu pierwszych kilkunastu miesięcy pracy kotłów uszkodzenia opłomek występowały



Już po 48 godzinach wybrzuszyło się 8 opłomek w pochyłej partji pierwszego rzędu. Wydęcia były znów wypełnione (Rys. 1) osadem, składającym się prawie wyłącznie z tlenków żelaza około 66%  $Fe_3 O_4$  i 20%  $Fe_2 O_3$ . Stwierdzono przytem, że wytworzenie się tlenków w miejscach uszkodzeń jest niemożliwe; były one do nich naniesione przez wodę.

Następnie kocioł ponownie oczyszczono, wymieniono rury i puszczone w ruch, tym razem bez dodawania fosforanu. Po 48 godzinach pojawiły się znów wydęcia, skupione jak poprzednio w jednym miejscu i tak samo wyglądające.



Rys. 2

Raptowne występowanie uszkodzeń, wyjaśniano tem, że fosforan rozluźniał zendrę, znajdującą się w rurach, tak że prąd wody mógł ją unieść i nagromadzić przypadkowo w jakimś miejscu, co pociągało za sobą możliwość zbytowego rozgrzania materiału opłomki. Przed okresem pracy bez dodawania fosforanu luźna zendra nie była zapewne całkowicie usunięta z kotła. Ponieważ w walczakach zauważono nieco szlamu, przystąpiono do dokładnego oczyszczenia kotła zarówno z osadów jak i z zendry.

Dalsze uszkodzenia pojawiały się kolejno po 830 godzinach ruchu, — po 700, oraz 200 godzinach. Ponieważ miejsca uszkodzeń wciąż się zmieniały, — powstało przypuszczenie, że przyczyna leży w niedość dokładnem czyszczeniu rur, skutkiem czego pozostawały w nich jeszcze cienkie warstewki kamienia. Zabrano się więc do czyszczenia kotła z jaknajwiększą starannością. Zaczęto przytem zbierać osad, usuwany z poszczególnych rur, do osobnych woreczków, celem oznaczania jego ilości i składu chemicznego.

W tym czasie zrobiono jeszcze jedną próbę z dodawaniem fosforanu. Po 8 dniach pracy otworzono walczaki i nie wykryto nic szczególnego. Zaczęto więc doprowadzać fosforan także i do drugiego kotła 100 atn. Po 48 godzinach wystąpiło aż 40 wydęć na rurach. W kilka dni później stwierdzono uszkodzenia także i w kotle pierwszym. Wobec tego zaprzestano dalszego stosowania fosforanu.

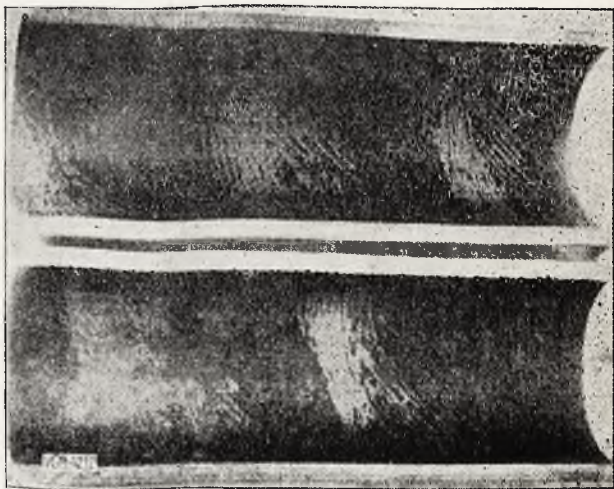
W tym okresie zauważono też, że w kotle wytwarza się okresowo siarkowodór. Zjawisko to było badane i wyjaśnione przez prof. Moh-

ra (w artykule streszczanym nie ma tego wyjaśnienia).



Rys. 2

Po dalszych 550 godzinach pracy kotła, pojawiały się zupełnie odmienne uszkodzenia, mianowicie głębokie wyżarcia, (rys. 2) tak daleko posunięte, że grubość ścianki rury zma-



Rys. 3

łała do 1 mm. W miejscach wygryzionych nie znaleziono osadu. Nie stwierdzono też wadliwości materiału lub walcowania.

Po następnych 225 godzinach wystąpiły znów wyżarcia, jednak po raz pierwszy w dalszych, 4-tym, 5-tym i 6-tym, rzędzie opłomek. Uszkodzenia te znajdowały się na rurach od strony paleniska i tworzyły skupienia. Były one pokryte stosunkowo cienką warstewką krystalicznej, czarnej substancji składającej się prawie wyłącznie z  $Fe_3 O_4$ .



Równocześnie stwierdzono ciekawy fakt, mianowicie osad, wydobywany podczas czyszczenia rur, zawierał od czasu do czasu miedź w postaci tlenku.

W dalszym ciągu zaczęły pojawiać się uszkodzenia pośrednie między wydęciami a wyżarciami, i to parokrotnie w tylnej części bocznych ścian komory paleniskowej.

Stwierdzono przytem jak bardzo zmienne zjawiska zachodzą w kotle. Osad bowiem wypełniający wydęcia miał strukturę warstwową, przyczem jedne warstwy zawierały ponad 70% tlenku miedzi, inne przeważnie  $Fe_3 O_4$ .



Rys. 4.

Na rurach zauważono występowanie t.zw. linii sił Fry'a. Stąd powstało przypuszczenie, że opisane powyżej szkody, są wywołane przez zjawiska elektrolityczne. Zachodzi możliwość, że działanie wody w wysokiej temperaturze przy równoczesnym natężeniu materiału ma skutki podobne do nagryzania odczynnikami Fry'a. Sprowadzono odcinki rur z jednej amerykańskiej kotłowni pracującej przy ciśnieniu 100 atn, w której nie zauważono podobnych trudności. Jednak na rurach tych widniały wyraźne linie sił (rys. 3). Zatem uszkodzenia nie były związane z tym objawem. Na zewnętrznej stronie rur w miejscach w których od wewnątrz były widoczne linie sił, występowały silniejsze wyrdzewienia (rys. 4.)

Kontrola chemiczna ruchu kotłów nie była początkowo należycie zorganizowana. Dopiero po pojawieniu się uszkodzeń zajęto się nadzorem wody zasilającej oraz znajdującą się wewnątrz kotła. Przez pewien czas analizowano próbki pobierane co godzinę. Stwierdzono przytem, że woda zasilająca zawierała stale tlen. Częściowo pochodził on z urządzenia do wytwarzania destylatu. Poza to tlen przedostawał się do rurociągu tłoczącego kondensat, pracującego z nadciśnieniem kilku metrów słupa wody, które to zjawisko dotychczas nie zostało wyjaśnione. Po zalaniu masą kablową, krez tego rurociągu, uszczelnionych klingerytem zmalała ilość tlenu w wodzie.

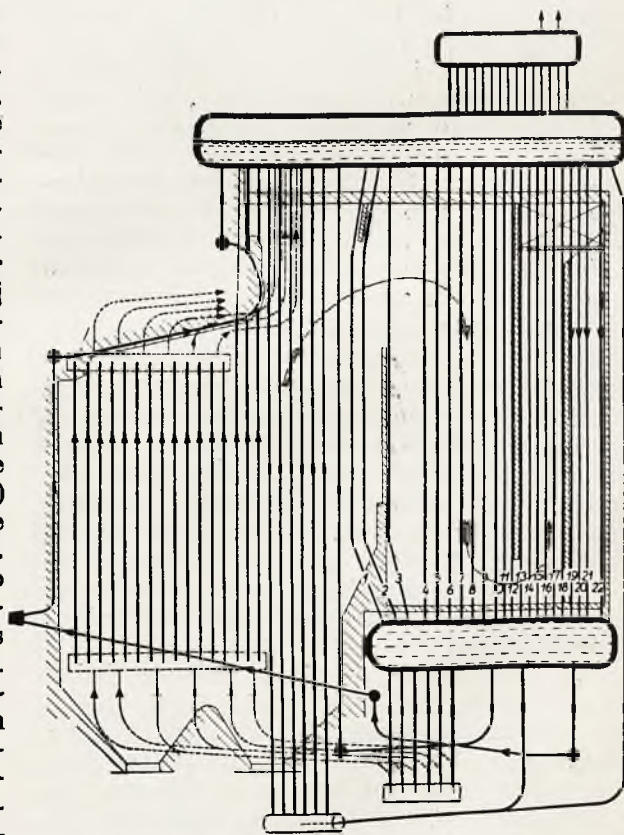
Podczas występowania pierwszych trudności nie przypuszczano, by winę ich ponosił

tlen. Według bowiem amerykańskich doświadczeń zawartość 0,14 mg/litr tlenu w wodzie nie powodowała trudności.

Podczas pierwszych 1000 godzin pracy kotła ilość tlenu w wodzie musiała być bezwzględnie wyższa, nie było to jednak przyczyną jakichkolwiek szkód. Wprawdzie dodawano w tym okresie siarczan sodowy.

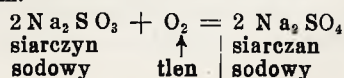
Po zmniejszeniu zawartości tlenu poniżej 0,1 mg/litr zmienił się rodzaj uszkodzeń (jak to poprzednio opisano), to jest znikły wielkie ilości tlenków żelaza. Równocześnie zaczęto utrzymywać liczbę sodową około 100 i powiększono pośrednio zawartość siarczanu sodowego w kotle (100 do 300 mg/litr), przez dodawanie siarczanu sodowego, celem związania resztek tlenu<sup>1)</sup>. Tą drogą zmniejszono ilość tlenu poniżej 0,02 do 0,03 mg/litr. Obecność siarczanu sodowego jest pożyteczna, gdyż według badań prof. Berla stanowi on do pewnego stopnia środek ochronny przed korozjami. Potwierdza to też początkowy okres pracy kotła.

Pytanie, czy przyczyny korozji nie należy szukać w obiegu wody, było stale wysuwane. Ponieważ jednak przekrój rur opadodowych był bardzo wielki, uważano, że nie może zachodzić związek między korozjami



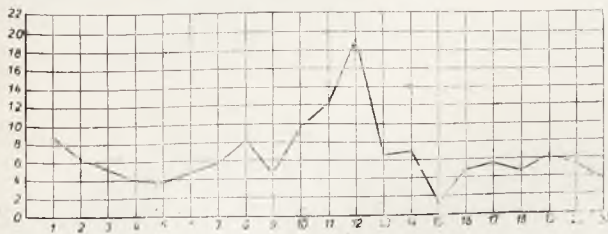
Rys. 5.

<sup>1)</sup> Siarczyn sodowy jest środkiem redukującym, odtleniającym:





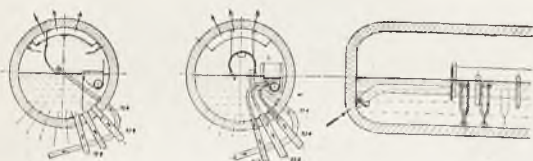
a obiegiem wody. Dopiero badania ilości osadów, wydobywanych podczas czyszczenia z poszczególnych rur, wykazały, że największe ilości odpowiadają rurom sąsiadującym z opłómkami uszkodzonymi i że właśnie w tych rurach obieg wody jest niepewny. Szczególnie wyraźnie wystąpił ten objaw w drugim kotle 100 atn (rys. 5).



Rys. 6. "

Osad g/m bież. dla różnych rzędów opłomek.

Największa ilość osadu przypada na 12 rząd opłomek (rys. 6), a jak wynika z przebiegu, w tych rurach kierunek ruchu wody



Rys. 7.

jest zmienny. W ten sposób ustaliło się przekonanie, że uszkodzenia w dalszych rzędach rur są związane z martwymi miejscami obiegu wody.

W tym czasie uruchomiono trzeci kocioł 100 atn, w którym pojawiły się uszkodzenia pośrednie między obu poprzednio opisanymi rodzajami, chociaż obieg wody został zmieniony (jeszcze przed ustaleniem poprzedniego wniosku), a kocioł był zasilany wodą nie zawierającą tlenu.

Porównanie z kotłami 100 atn pracującymi w Ameryce nie dało wyników, z powodu odmiennej konstrukcji kotłów: są tam stosowane kotły o trzech walczkach lub kotły sekcyjne, przy czym komory paleniskowe i jedynych i drugich są intensywnie chłodzone, tak że spaliny dopływają do pierwszego rzędu opłomek ze stosunkowo niską temperaturą. Rury zatem, w których kierunek ruchu wody jest niepewny, nie znajdują się w silnie ogrzewanych częściach kotła.

W jedynej kotłowni amerykańskiej, która miała analogiczne trudności, stwierdzono, że osady w kotłach powstawały wskutek nieuszczelnności kondensatorów. Po usunięciu tych usterek, znikł kamień, natomiast wystąpiło wygrzanie materiału opłomek prawie na wy-

lot, podobnie jak uszkodzenia drugiego typu w Mannheimie. Ustąpiły one w zupełności po dokładnym usunięciu tlenu z wody zasilającej, co uskuteczniło przy pomocy dodawania wodorotlenku żelazawego.

Wystąpienie uszkodzeń w trzecim kotle, w którym nie było wątpliwości co do obiegu wody, osłabiło ostatecznie wyprowadzony wniosek. Pozatem niezdolano wyjaśnić, dlaczego uszkodzenia występowały zgrupowane na sąsiadujących rurach oraz przerzucały się to tu, to tam.

Pomimo braku ostatecznego wyjaśnienia przyczyn korozji, przystąpiono do przeróbek celem ustalenia obiegu wody. Dla przesunięcia rur z wątpliwym kierunkiem ruchu wody do chłodniejszej części kotła, powiększono przekrój rur opańowych, oraz połączono je bezpośrednio z korytem do którego dopływa woda zasilająca (rys. 7). Dalsze kotły przebudowano również w ten sposób, by ustalić kierunek obiegu wody i zapewnić dostateczny dopływ wody do rur najsilniej ogrzewanych.

Od czasu uskutecznienia tych przeróbek w ciągu roku (t. j. od wiosny r. 1930) nie pojawiły się trudności ruchowe, czyli, że sprawę można uważać za rozwiązana.

Ilość występujących uszkodzeń zmalała jeszcze przed przeróbkami, gdy zaczęto dokładnie usuwać tlen z wody, przy czym w kotłach utrzymywano dosyć znaczne zagęszczenie siarczanu sodowego. Zmniejszono też wtedy liczbę sodową, lecz to nie mogło mieć wpływu na korozję, jedynie na zmniejszenie tendencji do pienienia się wody w kotle

Można więc przyjąć, że korozje wywołane niedostatecznym obiegiem wody powiększały się wskutek zawartości tlenu w wodzie zasilającej. Nie wystarczy więc niedopuszczanie tlenu do kotła, lecz należy wymagać od dostawcy kotła, by obieg wody był bez zarzutu.

Przy sposobności powyższych badań stwierdzono niezgodność z doświadczeniami dr. Einslera (V. G. B. — Mitteilungen nr. 30), który ustalił, że liczba wodorowa  $pH$  równa 9,8 stanowi ochronę dla zawartości tlenu 0,5 mg/litr wody zasilającej, a  $pH$  równe 12,4 dla 1 mg/litr W Mannheimie ilość tlenu wynosiła 0,2 do 0,3 mg/litr, a  $pH$  — 12, pomimo to występowały znaczne korozje. Obecnie ilość tlenu jest mniejsza niż 0,01 mg/litr, a  $pH$  wynosi około 11. Badania dr. Einslera są ważne tylko dla podgrzewaczy. Nie zauważono bowiem wyżarów w podgrzewaczach z rur kutyh, w których woda podgrzewa się z 200° na 270° C. Koszt siarczynu sodowego jest nieznaczny dla większego zakładu.

Fosforan sodowy nie stanowi ochrony przed korozjami. Raczej przeciwnie, gdyż po uruchomieniu nowego kotła ilość wprowadzonego doń fosforanu maleje, zatem następuje

jakieś połączenie między kwasem fosforowym i żelazem. Wkrótce jednak zostaje osiągnięty stan nasycenia i zjawisko to ustaje.

Przeróbki w kotłach były możliwe, dzięki zastosowaniu rur ze stali molibdenowej. Materiał ten posiada bowiem wysoką granicę ciągliwości w wyższych temperaturach. Rury o średnicy zewnętrznej 70 mm, wykonane ze

stali Siemens Martinowskiej o grubości ścianki 8,5 mm, można było zastąpić rurami o ściankach 5,5 mm, przy zwiększonym jeszcze współczynnikiem bezpieczeństwa. Przez taką wymianę uzyskano powiększenie przekroju o 24%. Wskutek mniejszej wagi rury ze stali molibdenowej nie są droższe od zwykłych rur.

Inż. KAZIMIERZ SZAWŁOWSKI.

## WPŁYW STANU BAROMETRYCZNEGO ORAZ TEMPERATURY POWIETRZA NA MOC, ORAZ BILANS CIEPLNY SILNIKA DIESEL'A.

Moc silnika spalinowego, przy danej ilości obrotów, zależy od wymiarów objętości skokowej cylindra roboczego, wzgl. od ciężaru powietrza nassanego do cylindra. W silnikach spalinowych zasysających gotową mieszankę, ciężar ładunku cylindra wpływa bezpośrednio na moc użyteczną; — w silnikach Diesel'a ładunek powietrza tylko przy maksymalnych mocach jest decydujący, gdyż spalanie odbywa się zawsze przy dużej nadwyżce powietrza.

Niemieckie normy odbiorcze, wydane przez Związek Inżynierów V. D. I. w 1930 roku<sup>1)</sup>, przewidują redukcję mocy i zużycia paliwa na normalne warunki atmosferyczne podawane przez dostawców, lecz nie podają sposobu jak należy cyfrowo taką redukcję przeprowadzać.

Według wiadomości z I. E. C. (Międzynarodowej Komisji Elektrycznej) w Nowym Yorku, wydział dla spraw silników spalinowych I. E. C., zajmuje się wyprowadzeniem wzorów redukcyjnych, które mają wypełnić lukę przepisów niemieckich; — prace te narazie nie są ukończone.

W związku z przewidzianą redukcją mocy na normalne warunki atmosferyczne, w niniejszym artykule wykazuję na podstawie obliczeń termodynamicznych, o ile wogóle zniżka barometryczna i temperatura powietrza oddziałują na pracę silnika Diesel'a. Oczywiście obliczenia odnoszą się do mocy indykowanej silnika.

<sup>1)</sup> Nowe przepisy odbiorcze silników spalinowych, wydane przez Związek Inżynierów V. D. I. w 1930 r., omawiane obecnie na Międzynarodowej Komisji Elektrycznej I. E. C. (Advisory Committee Nr. 19 on Internal Combustion Engines I. E. C. — Secretariat U. S. National Committee — New York N. Y.) przewidują przy dużych odchyleniach warunków atmosferycznych od normalnych, redukcję mocy i zużycia paliwa dla silników Diesel'a. Sposób przeliczania jak również normalne warunki do których odnoszą się gwarancje, podaje dostawca silnika.

Przy zmierzonych warunkach atmosferycznych:

$b_0$  . . . . barometr zredukowanym na 0°C w mm Hg.

$t$  . . . . temperaturze powietrza w °C

$\varphi$  . . . . względnej wilgotności powietrza według pomiaru psychometrem

$p_s$  . . . . ciśnieniu pary nasyconej w mm Hg.

Ciężar powietrza zasysanego do cylindra silnika:

$$G_{(0^\circ, 760)} = 1,293 \frac{(b_0 - \varphi \cdot p_s) 273}{760 \cdot T} \Psi \cdot v_s \text{ kg}$$

przyczem  $v_s$  jest objętością skokową,  $\Psi$  współczynnikiem zasysania.  $G_{(0,760)}$  oznacza ciężar

powietrza dla jednego cyklu roboczego.

Dla dolnej wartości opałowej paliwa  $W_d$  Cal/kg oraz praktycznego zapotrzebowania powietrza  $L = \lambda \cdot L_0$  kg/kg paliwa, średnie ciśnienie indykowane obliczamy:

$$p_t = 0,0427 \cdot \eta_L \cdot \eta_t \cdot \frac{W_d}{\lambda \cdot L_0 + 1} \text{ kg/cm}^2$$

$\eta_L$  . . jest stopniem ładowania cylindra w %

$\eta_t$  . . sprawnością indykowaną silnika w %

Stopień ładowania cylindra:

$$\eta_L = \frac{G}{1,293 v_s} = \Psi \cdot \frac{273 \cdot (b_0 - \varphi \cdot p_s)}{760 \cdot T} \%$$

ostatecznie średnie ciśnienie indykowane, a zatem i moc silnika, może być wyrażona wzorem:

$$p_t \approx 0,0427 \cdot \Psi \cdot \eta_t \cdot \frac{W_d}{\lambda \cdot L_0} \cdot \frac{273 \cdot (b_0 - \varphi \cdot p_s)}{760 \cdot T} \text{ kg/cm}^2$$



We wzorze dla wartości opałowej mieszanki uwzględniono poprawkę:

$$\frac{W_d}{1 + \lambda \cdot L_0} \text{ na } \sim \frac{W_d}{\lambda \cdot L_0},$$

co ze względu na paliwo płynne (olej gazowy) i małą jego ilość w stosunku do ilości powietrza jest dopuszczalne.

Przekształcając otrzymany wzór według  $\eta_i$ , otrzymamy:

$$\eta_i = \text{Const.} \frac{\lambda \cdot p_i}{\eta_i}$$

Widzimy, iż stopień ładowania cylindra, przy określonym  $p_i$ , wpływa na nadwyżkę powietrza i na sprawność indykowaną silnika, t. z. na dobroć przemiany dostarczonego ciepła w pracę indykowaną.

$$\eta_i = \frac{N_i}{427 \cdot Q}$$

Nadwyżka powietrza może decydująco oddziaływać na sprawność indykowaną tylko w krańcowych przypadkach obciążenia, czyli  $\lambda$  min. wiąże się ściśle z  $N_i$  max., co zresztą zależy od samego systemu rozpylania paliwa ogólnych warunków spalania. (Diesel klasyczny, bezsprężarkowy o wtrysku bezpośrednim paliwa wzgl. przez komory wstępne).

W jakim stopniu zmieniają się —  $\lambda$ , i  $\eta_i$  w zależności od obciążenia możemy zorientować się z wyników badań wykonanych przez W. Riema <sup>1)</sup> (Augsburg).

Moc Diesel'a	83,5	79,6	67,4	50,3	33,0	15,6 KMe
Nadwyżka powietrza	1,42	1,57	1,89	2,5	3,63	5,0
Sprawność indykowana	0,4035	0,416	0,43	0,448	0,4675	0,448

Dla różnych faz obciążenia, sprawność indykowana ulega stosunkowo małym zmianom, — nadwyżka powietrza zmienia się szybko. (Regulacja pompki paliwowej).

Dla przybliżonego rachunku redukcyjnego należałoby mieć na uwadze zmianę nadwyżki powietrza <sup>2)</sup>.

W ogólnym bilansie cieplnym silnika warunki atmosferyczne wpływają zwłaszcza na stratę wydechową i to przez wilgoć zawartą w powietrzu. Oczywiście wzrost temperatury

wydechowej wraz z obciążeniem silnika, przy normalnych warunkach spalania, wpływa na obydwie straty ciepłne — chłodzenia i wydechową. Zniżka barometryczna zmniejsza możliwość przeciążalności silnika i kres może pokrywać się z mocą normalną, przewidzianą dla warunków normalnych, a nawet w niekorzystnych wypadkach może być poniżej  $\frac{1}{4}$  obciążenia.

Z pomiaru:

- ciśnienia barometrycznego  $b \text{ mmHg}$
- temperatury powietrza . .  $t^\circ C$
- wilgotności względnej . . .  $\varphi \%$

otrzymujemy według tabel dla pary nasyconej stosownie do temperatury, ciężar właściwy pary nasyconej w  $gr/m^3$  powietrza  $\gamma_s$ , który po pomnożeniu przez wilgotność względną  $\varphi$ , daje wilgotność absolutną powietrza w danych warunkach  $\gamma'_s$ , w  $gr$  wilgoci na  $m^3$  powietrza. Wilgoć ta powiększa objętość spalin wydechowych, a zatem i stratę wydechową.

Przytoczę krótko obliczenie straty wydechowej, przy uwzględnieniu wilgoci zawartej w powietrzu zasysanem do cylindra silnika.

Analiza elementarna paliwa dała:

- C . . . . . węgla wag. %
- H . . . . . wodoru
- O . . . . . tlenu
- N . . . . . azotu
- w . . . . . wilgoci hygroskopijnej.

Analiza aparatem Orsata:

- k . . bezwodnika węglowego obj. %
- o . . tlenu z nadwyżki powietrza obj. %
- n . . azotu obj. %.

Psychometrycznie obliczono  $v$  wilgoci w  $kg/m^3$  powietrza.

Teoretyczna ilość powietrza:

$$L'_0 = 22,41 \cdot \left[ \frac{C}{12} + \frac{H}{4} - \frac{O}{32} \right] \cdot \frac{1}{0,21} \text{ m}^3/kg$$

$$\text{Nadwyżka powietrza } \lambda = \frac{21}{21 - 79 \frac{O}{n}}$$

Rzeczywiste zapotrzebowanie powietrza  $L' = \lambda \cdot L'_0 \text{ m}^3/kg$  paliwa.

Wilgoć przypadająca z powietrza na  $kg$  paliwa:

$$w_1 = v \cdot L'kg$$

Czyli objętość pary wodnej w spalinach z paliwa i powietrza:

$$V_w = 22,41 \cdot \frac{9H + w + w_1}{18} \text{ m}^3(0^0,769 \text{ mm Hg})$$

<sup>1)</sup> (V. D. I.—1923 r. tom 67).

<sup>2)</sup> Prof. A. Kossitzki, Belgrad: Wpływ nadwyżki powietrza na moc silnika, Anal. Jugosłowiańskiej Królewskiej Akademii Umiejętności z 1928 r.—tom. CXXX).

Objętość mokrych spalin:

$$V_s = 22,41 \cdot \left[ \frac{C}{12} + \frac{N}{28,08} + \frac{9H + w + w_1}{18} \right] + 0,21 \cdot L'_o (\lambda - 1) + 0,79 \cdot L' \text{ m}^3/\text{kg} (0^\circ,760 \text{ mm Hg})$$

Procentowa zawartość wilgoci w mokrych spalinach:

$$j = \frac{V_w}{V_s} \cdot 100$$

Strata wydechowa będzie miała wartość:

$$Q_s = B \cdot V_s \cdot c_s \cdot (t_s - t_0) \quad \text{Cal/Ne godz.}$$

przezem:

$B$  .. oznacza godz. zużycie paliwa w  $\text{kg/Ne}$

$c_s$  .. ciepło właściwe spalin mokrych  $\text{Cal/m}^3$ , przy  $0^\circ,760 \text{ mm Hg}$ .

$t_s$  .. temperaturę spalin zmierzoną zaraz za zaworem wydechowym.

$t_0$  .. temperaturę powietrza przed silnikiem.

Ciepło właściwe mokrych spalin obliczamy z ciepła właściwego poszczególnych składników spalin:

$c'$  .. dla  $\text{CO}_2$  w obrębie  $t_s - t_0$

$c''$  .. „ gazów dwuatomowych

$c'''$  .. „ dla pary wodnej

$$c_s = \frac{k \cdot c' + (o + n) \cdot c'' + j \cdot c'''}{100 + j}$$

## KOMUNIKATY STOWARZYSZENIA DOZORU KOTŁÓW

### Z żałobnej karty.

W dniu 15 grudnia b. r. zmarł w Drohobyczu inżynier Stowarzyszenia Dozoru Kotłów w Warszawie ś. p. Stefan Balicki, który od r. 1922 obejmował stanowisko inż. rejonowego w Borysławiu.

### Odznaczenie.

Złotym Krzyżem Zasługi został odznaczony Dyrektor Stowarzyszenia Dozoru Kotłów w Warszawie p. inż. *Kazimierz Bizański*, za zasługi w dziedzinie organizacji dozoru kotłów.



TREŚĆ: *K. Gierler, inż.* Obliczenie cen pary i mocy przy sprzężonej gospodarce ciepłno-elektrycznej. — *T. Wróblewski, inż.* Uszkodzenia siodeł Babcock'a. — *W. R. inż.* Woda w kotłach 100 atn. — *K. Szawłowski, inż.* Wpływ stanu barometrycznego oraz temperatury powietrza na moc, oraz bilans cieplny silnika Diesela. —

Komunikat Stowarzyszenia.

SOMMAIRE: *K. Gierler, ing.* Le calcul du prix de révient de la vapeur et d'unité d'énergie. — *T. Wróblewski, ing.* Les defects des selles des chaudières Babcock. — *W. R.* L'eau des chaudières de 100 atn. — *K. Szawłowski, ing.* L'influence de la pression barometrique sur le rendement du moteur Diesel. — Informations de la Societé.



## **SPRZEDAŻ LOKOMOBILI**

Magistrat m. Słonima sprzedaje  
lokomobilę systemu Wolf'a 12 atn,  
68 KM, na parę przegrzaną.

Warunki sprzedaży przesyłane  
będą na żądanie.

**KUPIMY** dwa używane, kotły parowe  
w bardzo dobrym stanie syst.

### **„Babcock - Wilcox“,**

o powierzchni ogrzewalnej po 300 m<sup>2</sup>,  
ciśnieniu roboczym ca 12 atn z rusztami  
ruchomymi oraz całą armaturą.

Odpisy certyfikatów z ostatnim wynikiem  
rewizji, z podaniem miejscowości oraz  
ceny loco wagon należy kierować do  
Administracji *Techniki Ciepłej* pod:  
„C. CH. Nr. 100“

## ADMINISTRACJA TECHNIKI CIEPLNEJ

w Warszawie, ul. Piękna 32, m. 12.

POLECA

ROCZNIKI PISMA Z LAT UBIEGŁYCH

a mianowicie:

Technika Ciepła, rocznik 1924 r. zł. 12  
Technika Ciepła, rocznik 1925 r. zł. 12  
Technika Ciepła, rocznik 1926 r. zł. 12  
Technika Ciepła, rocznik 1927 r. zł. 12  
Technika Ciepła, rocznik 1928 r. zł. 12  
Technika Ciepła, rocznik 1929 r. zł. 12  
Technika Ciepła, rocznik 1931 r. zł. 12

*Uprzejmie prosimy*

*o wznowienie prenumeraty*

*na rok 1933.*

## BIURO SPRZEDAŻY

# PAŃSTWOWE ZAKŁADY INŻYNIERJI

WARSZAWA, TERESPOLSKA № 34/36

TELEFON 548-10 do 548-15.

**SAMOCZODY:** Polski Fiat, Polski Saurer—osobowe, ciężarowe.

**MOTOCYKLE** CWS.

**SILNIKI** ropowe URSUS — DIESEL 4—500 KM.

**ARMATURA** dla wody, pary i gazu.

**ZESPOŁY** pompowe, oświetleniowe i rolnictwa.

**ODLEWY:**

**MOTORÓWKI**, dreżyny motorowe.

**NADWOZIA**, przyczepki.

PRODUKCJI

## PAŃSTWOWYCH ZAKŁADÓW INŻYNIERJI

Najwyższe odznaczenia na wystawach krajowych i zagranicznych.

**STOWARZYSZENIE  
DOZORU KOTŁÓW W WARSZAWIE  
WYDAŁO  
SPIS CZŁONKÓW W 1930 R.**

Spis sporządzony jest według poszczególnych województw z danymi: nazwa firmy, rodzaj przedsiębiorstwa, miejscowość i poczta, ilość kotłów, typ, ciśnienie w atm i powierzchnia ogrzewalna w m<sup>2</sup> każdego kotła. Całość obejmuje 9249 firm, 18155 kotłów, około 800 stron druku.

Cena 1 egzemplarza wynosi dla członków Stowarzyszenia, Związków przemysłowych i Instytucyj prawnopublicznych Zł. 40,— dla pozostałych Zł. 60.— Koszty przesyłki pocztowej dolicza się osobno.

Zamówienia prosimy kierować na adres:  
**Stowarzyszenie Dozoru Kotłów w Warszawie,  
ulica Piękna 32.**

**BADANIA  
WODY**

Biurow Okręgu Lwowskiego Stowarzyszenia Dozoru Kotłów w Warszawie (Lwów, ul. Św. Teresy 10) wykonywuje analizy wody do zasilania kotłów parowych, (wody surowej, zmiękczonej, skroplin) oraz udziela porad w zakresie zwalczania szkodliwych skutków działania wody zasilającej na blachy kotłów.

Do wykonania analizy należy nadesłać próbkę wody w ilości 3 litrów. Próbkę należy przysyłać w butelkach ze szkła bezbarwnego, dobrze wymytych, kilkakrotnie wypłukanych wodą, z której ma być pobrana próbka, zamkniętych nowymi korkami i zalakowanych.

**CENY ANALIZ:**

Kompletna . . . . .	Zł. 60.—
Skrócona, polegająca na oznaczeniu tylko samej twardości wody . . . . .	Zł. 20.—

**Oznaczenie wartości opałowej paliwa**

**Laboratorium badania węgla przy Biurze Okręgowym**

**Stowarzyszenia Dozoru Kotłów w Warszawie.**

**W Dąbrowie Górniczej, ulica Sienkiewicza 7,**

**Telefon 1-01.**

**przeprowadza badania wartości opałowej paliwa po cenach następujących:**

Oznaczenie wartości opałowej z podaniem zawartości wody i popiołu zł. . . . .	35.—
Oznaczenie wody lub popiołu . . . . .	5.—
Oznaczenie koksu lub części lotnych. . . . .	10.—
Oznaczenie zawartości siarki . . . . .	15.—
Wykonanie analizy elementarnej . . . . .	45.—

**Przed wysłaniem próbki należy porozumieć się z pracownią.**